



Universidade Estadual de Londrina  
Departamento de Computação

*Programa de Mestrado em Computação*

***Módulo 3 - Processamento Digital de  
Imagens***

Autor: Prof. Dr. Alan Salvany Felinto

email: [alan@uel.br](mailto:alan@uel.br)

(2017)

# Sumário

- Transformações Rígidas: Translação, rotação e escala;
- Deformação;
- Filtros espaciais: Média, Laplaciano, Mediana, Sobel;
- Bibliografia.



# Preenchimento de Regiões

Pixel 4-conectado

	1	
4	<b>P</b>	2
	3	

Pixel 8-conectado

1	2	3
8	<b>P</b>	4
7	6	5

Algoritmo recursivo para o preenchimento de regiões definido pela cor de fundo dos objetos contidos na imagem

Dados de entrada:

(x,y) - Coordenadas do ponto no interior da região

valor\_velho - Valor antigo associado a cor do pixel (x,y)

valor\_novo - Valor que substituirá o valor antigo do pixel



# Preenchimento de Regiões

```
Procedimento Flood_fill_4(x1,y1,valor_velho,valor_novo:inteiro);  
início  
  se PixeldaImagem[x1,y1]=valor_velho então  
    início  
      PixeldaImagem[x1,y1] := valor_novo;  
      flood_fill_4(x1,y1-1,valor_velho,valor_novo);  
      flood_fill_4(x1,y1+1,valor_velho,valor_novo);  
      flood_fill_4(x1-1,y1,valor_velho,valor_novo);  
      flood_fill_4(x1+1,y1,valor_velho,valor_novo);  
    fim;  
  fim;
```



# Preenchimento de Regiões

Preenchimento de regiões definidas pelas bordas

Dados de entrada:

(x, y) - Coordenadas do ponto no interior da região

valor\_borda - cor da borda que delimita a região

valor\_novo - cor de preenchimento da região

**Procedimento** boundary\_fill\_4(x1,y1,valor\_borda,valor\_novo:inteiro);

**início**

**se** ((PixeldaImage[x1,y1]<>valor\_borda) **E** PixeldaImage[x1,y1]<>valor\_novo))

**então**

**início**

PixeldaImage[x1,y1] = valor\_novo;

boundary\_fill\_4(x1,y1-1,valor\_borda,valor\_novo);

boundary\_fill\_4(x1,y1+1,valor\_borda,valor\_novo);

boundary\_fill\_4(x1-1,y1,valor\_borda,valor\_novo);

boundary\_fill\_4(x1+1,y1,valor\_borda,valor\_novo);

**fim;**

**fim;**



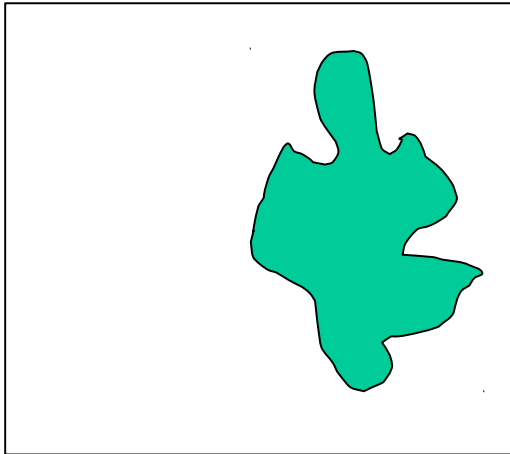
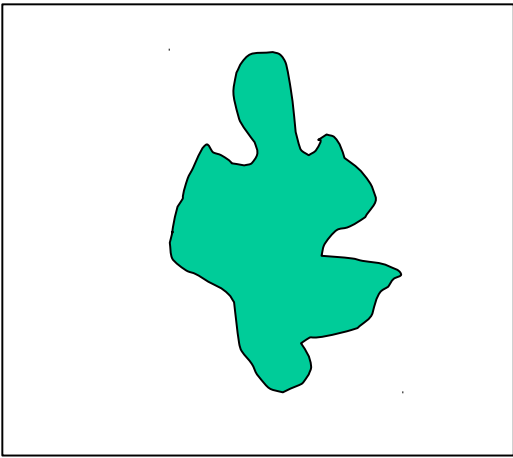
# Transformadas Geométricas 2D (Translação)

**Translação:**

$$P' = T(\Delta x, \Delta y) * P \quad \rightarrow$$

$$\begin{bmatrix} x' \\ y' \\ 1 \end{bmatrix} = \begin{bmatrix} 1 & 0 & \Delta x \\ 0 & 1 & \Delta y \\ 0 & 0 & 1 \end{bmatrix} * \begin{bmatrix} x \\ y \\ 1 \end{bmatrix} \Leftrightarrow \begin{cases} x' = x + \Delta x \\ y' = y + \Delta y \end{cases}$$

Vetor de translação



$$\Delta x = 30$$

$$\Delta y = 0$$



# Escala (2D)

$$P' = E(E_x, E_y) * P \quad \Rightarrow \quad \begin{bmatrix} x' \\ y' \\ 1 \end{bmatrix} = \begin{bmatrix} E_x & 0 & 0 \\ 0 & E_y & 0 \\ 0 & 0 & 1 \end{bmatrix} * \begin{bmatrix} x \\ y \\ 1 \end{bmatrix} \Leftrightarrow \begin{cases} x' = x * E_x \\ y' = y * E_y \end{cases}$$

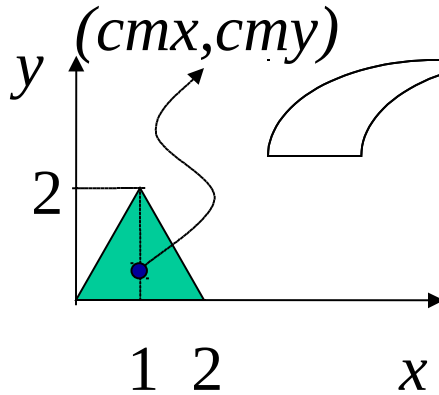
Ao aumentarmos uma imagem deve-se interpolar os pontos inexistentes (Veja Zoom do módulo 8 parte 2)

Obs: A transformação em escala, além de alterar as dimensões do objeto, também produz o efeito da translação

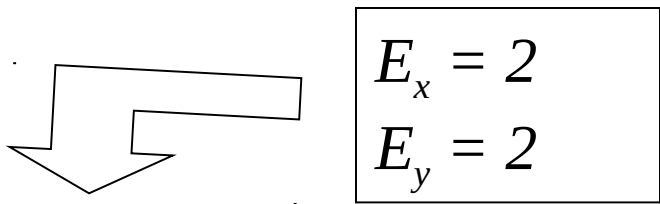
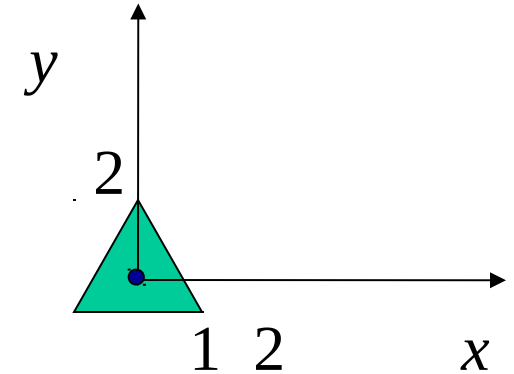
cmx = centro de massa em x = média aritmética das coordenadas x  
cmy = centro de massa em y = média aritmética das coordenadas y



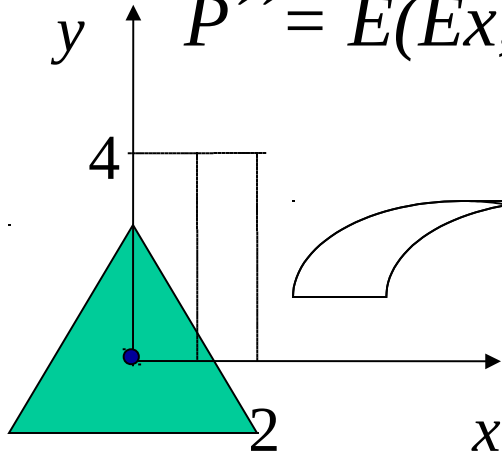
# Escala ao longo do Centro de massa



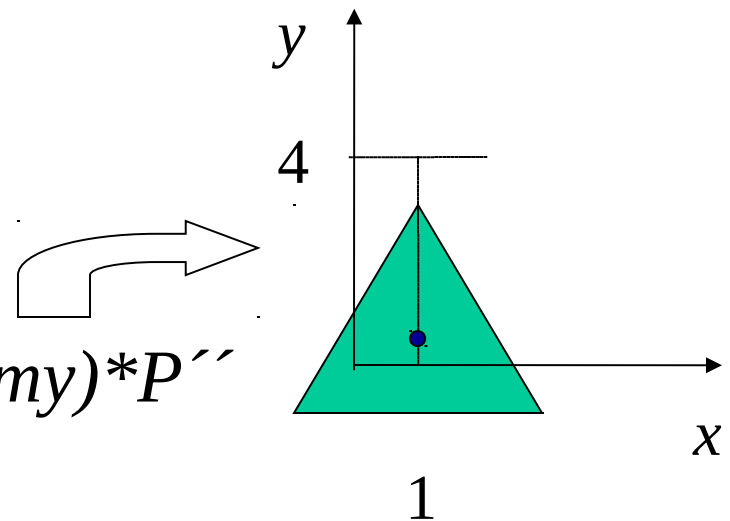
$$P' = T(-cmx, -cmy) * P$$



$$P'' = E(E_x, E_y) * P'$$



$$P''' = T(cmx, cmy) * P''$$

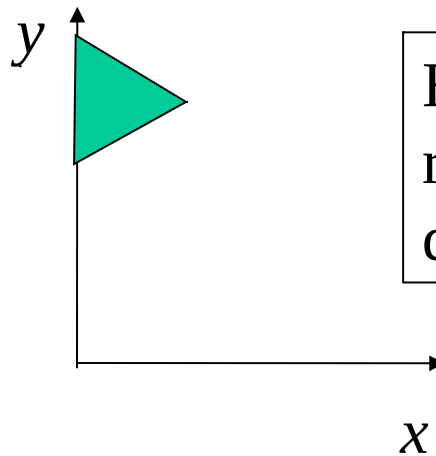
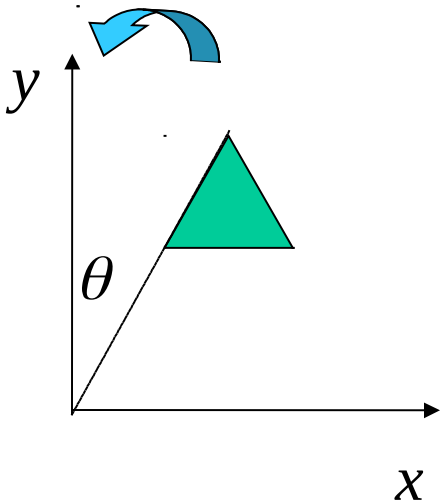






# Rotação (2D)

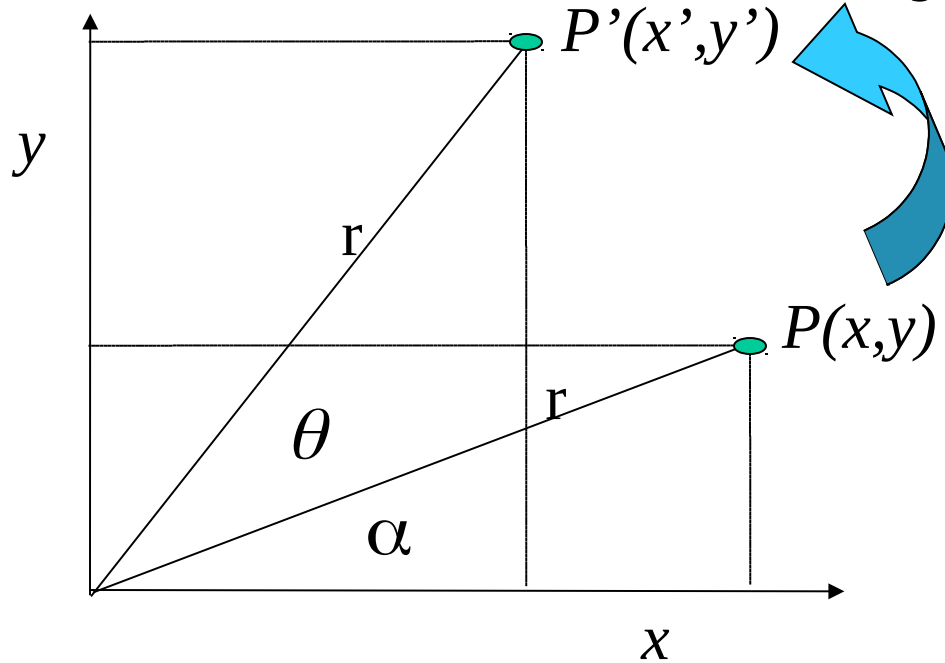
$$P' = R(\theta) * P \Rightarrow \begin{bmatrix} x' \\ y' \\ 1 \end{bmatrix} = \begin{bmatrix} \cos(\theta) & -\sin(\theta) & 0 \\ \sin(\theta) & \cos(\theta) & 0 \\ 0 & 0 & 1 \end{bmatrix} * \begin{bmatrix} x \\ y \\ 1 \end{bmatrix} \Leftrightarrow \begin{cases} x' = x * \cos(\theta) - y * \sin(\theta) \\ y' = x * \sin(\theta) + y * \cos(\theta) \end{cases}$$



Existem problemas de rotação por ser um espaço discreto.



# Rotação (2D)



$$x = r.\cos(\alpha)$$

$$y = r.\sin(\alpha)$$

$$x' = r.\cos(\alpha + \theta) = r.\cos(\alpha).\cos(\theta) - r.\sin(\alpha).\sin(\theta)$$

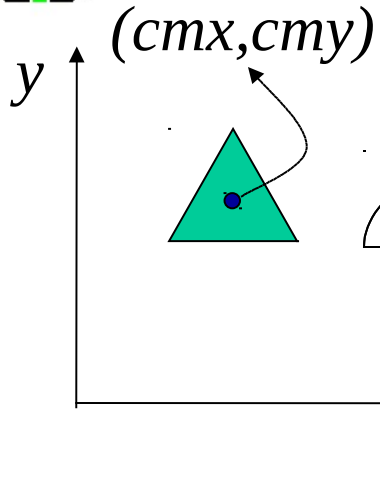
$$y' = r.\sin(\alpha + \theta) = r.\cos(\alpha).\sin(\theta) + r.\sin(\alpha).\cos(\theta)$$

$$x' = x.\cos(\theta) - y.\sin(\theta)$$

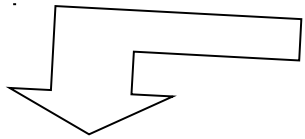
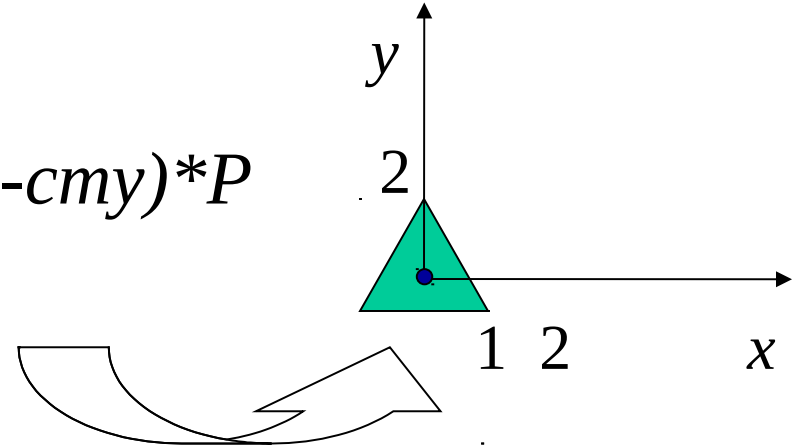
$$y' = x.\sin(\theta) + y.\cos(\theta)$$



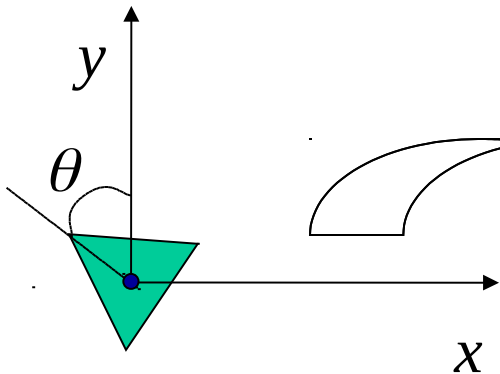
# Rotação ao redor do Centro de massa



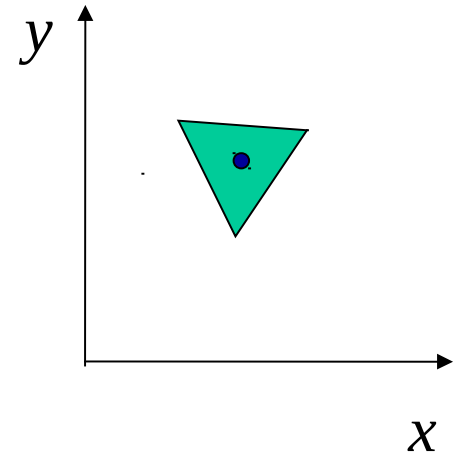
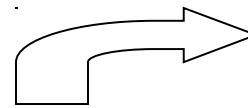
$$P' = T(-cmx, -cmy) * P$$



$$P'' = R(\theta) * P'$$



$$P''' = T(cmx, cmy) * P''$$





# Composições de Transformações Rígidas 2D

Dois exemplos:

Escala ao redor do centro de massa do objeto

$$P' = T(cm_x, cm_y) * E(E_x, E_y) * T(-cm_x, -cm_y) * P$$

Uma única matriz 3x3 que resulta em duas translações e uma escala

Rotação ao redor do centro de massa do objeto

$$P' = T(cm_x, cm_y) * R(\theta) * T(-cm_x, -cm_y) * P$$

\*\* Qual é a matriz para se produzir espelhamento (Flip) horizontal ou vertical?

\*\* Quais são os problemas e/ou restrições que devemos nos preocupar ao aplicarmos transformações geométricas em uma imagem ?



# Transformadas Geométricas 3D (Translação)

## Translação:

$$P' = T(\Delta x, \Delta y, \Delta z) * P$$



$$\begin{bmatrix} x' \\ y' \\ z' \\ 1 \end{bmatrix} = \begin{bmatrix} 1 & 0 & 0 & \Delta x \\ 0 & 1 & 0 & \Delta y \\ 0 & 0 & 1 & \Delta z \\ 0 & 0 & 0 & 1 \end{bmatrix} * \begin{bmatrix} x \\ y \\ z \\ 1 \end{bmatrix} \Leftrightarrow \begin{cases} x' = x + \Delta x \\ y' = y + \Delta y \\ z' = z + \Delta z \end{cases}$$



# Escala 3D

## Escala:

$$P' = E(E_x, E_y, E_z) * P$$



$$\begin{bmatrix} x' \\ y' \\ z' \\ 1 \end{bmatrix} = \begin{bmatrix} E_x & 0 & 0 & 0 \\ 0 & E_y & 0 & 0 \\ 0 & 0 & E_z & 0 \\ 0 & 0 & 0 & 1 \end{bmatrix} * \begin{bmatrix} x \\ y \\ z \\ 1 \end{bmatrix} \iff \begin{cases} x' = x * E_x \\ y' = y * E_y \\ z' = z * E_z \end{cases}$$

Escala ao redor do centro de massa do objeto

$$P' = T(cmx, cmy, cmz) * E(E_x, E_y, E_z) * T(-cmx, -cmy, -cmz) * P$$

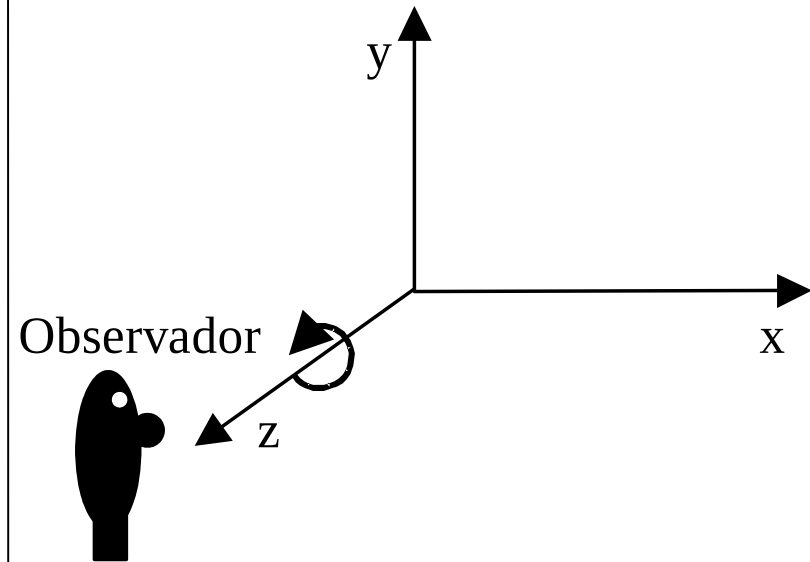


# Rotação (eixo z fixo)

$$P' = Rz(\alpha) * P \text{ (sentido de x para y)}$$

$$\begin{bmatrix} x' \\ y' \\ z' \\ 1 \end{bmatrix} = \begin{bmatrix} \cos(\alpha) & -\sin(\alpha) & 0 & 0 \\ \sin(\alpha) & \cos(\alpha) & 0 & 0 \\ 0 & 0 & 1 & 0 \\ 0 & 0 & 0 & 1 \end{bmatrix} * \begin{bmatrix} x \\ y \\ z \\ 1 \end{bmatrix}$$

$$\Leftrightarrow \begin{cases} x' = x \cos(\alpha) - y \sin(\alpha) \\ y' = x \sin(\alpha) + y \cos(\alpha) \\ z' = z \end{cases}$$



Rotação ao redor do centro de massa do objeto

$$P' = T(cm_x, cm_y, cm_z) * Rz(\alpha) * T(-cm_x, -cm_y, -cm_z) * P$$

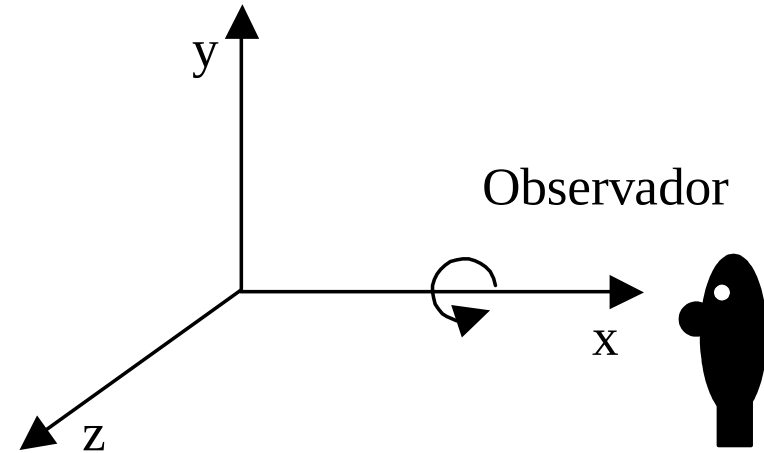


# Rotação (eixo x fixo)

$$P' = Rx(\alpha) * P \text{ (sentido de y para z)}$$

$$\begin{bmatrix} x' \\ y' \\ z' \\ 1 \end{bmatrix} = \begin{bmatrix} 1 & 0 & 0 & 0 \\ 0 & \cos(\alpha) & -\sin(\alpha) & 0 \\ 0 & \sin(\alpha) & \cos(\alpha) & 0 \\ 0 & 0 & 0 & 1 \end{bmatrix} * \begin{bmatrix} x \\ y \\ z \\ 1 \end{bmatrix}$$

$$\Leftrightarrow \begin{cases} x' = x \\ y' = y \cos(\alpha) - z \sin(\alpha) \\ z' = y \sin(\alpha) + z \cos(\alpha) \end{cases}$$



Rotação ao redor do centro de massa do objeto

$$P' = T(cm_x, cm_y, cm_z) * Rx(\alpha) * T(-cm_x, -cm_y, -cm_z) * P$$





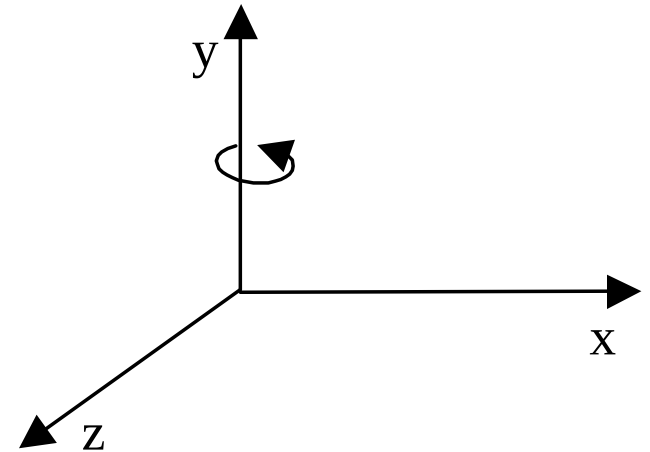
# Rotação (eixo y fixo)

$P' = Ry(\alpha) * P$  (sentido de z para x)

$$\begin{bmatrix} x' \\ y' \\ z' \\ 1 \end{bmatrix} = \begin{bmatrix} \cos(\alpha) & 0 & \sin(\alpha) & 0 \\ 0 & 1 & 0 & 0 \\ -\sin(\alpha) & 0 & \cos(\alpha) & 0 \\ 0 & 0 & 0 & 1 \end{bmatrix} * \begin{bmatrix} x \\ y \\ z \\ 1 \end{bmatrix}$$

$$\Leftrightarrow \begin{cases} x' = z \sin(\alpha) + x \cos(\alpha) \\ y' = y \\ z' = z \cos(\alpha) - x \sin(\alpha) \end{cases}$$

Observador



Rotação ao redor do centro de massa do objeto

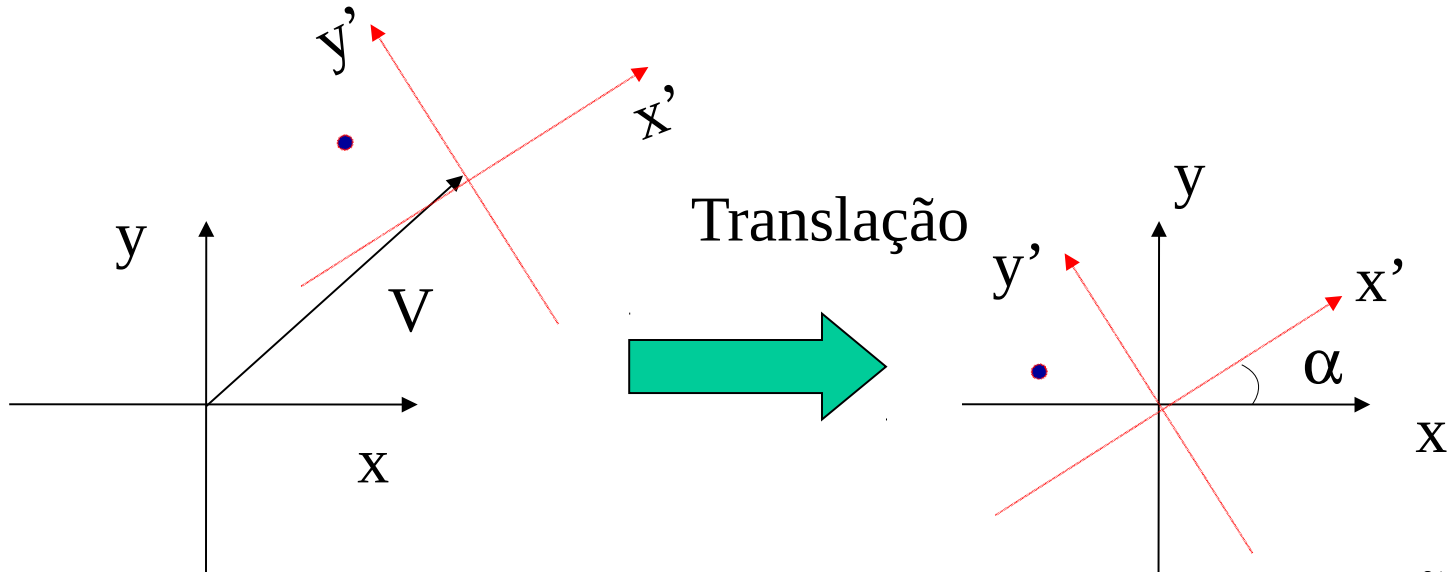
$$P' = T(cm_x, cm_y, cm_z) * Ry(\alpha) * T(-cm_x, -cm_y, -cm_z) * P$$

Transformação genérica ao redor do centro de massa:

$$P' = T(cm_x, cm_y, cm_z) * Rz(\alpha) * Ry(\beta) * Rx(\theta) * T(-cm_x, -cm_y, -cm_z) * P$$

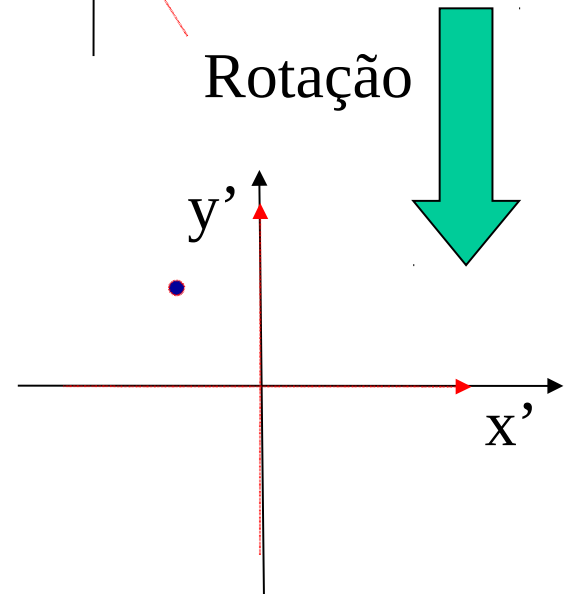


# Transformações de coordenadas (x,y) para (x',y')



Matematicamente:

$$\begin{bmatrix} x' \\ y' \\ 1 \end{bmatrix} = \begin{bmatrix} \cos(-\alpha) & -\sin(-\alpha) & 0 \\ \sin(-\alpha) & \cos(-\alpha) & 0 \\ 0 & 0 & 1 \end{bmatrix} \begin{bmatrix} 1 & 0 & -V_x \\ 0 & 1 & -V_y \\ 0 & 0 & 1 \end{bmatrix} * \begin{bmatrix} x \\ y \\ 1 \end{bmatrix}$$





# Projeções no plano da Imagem

## Restrições:

Considere a projeção em uma superfície plana ao invés de uma superfície curva e utilizando raios projetores lineares e não curvos.

Projeções geométricas planares paralelas ortográficas:

$$x' = x, y' = y \text{ e } z' = 0,$$

desconsidera-se o eixo  $z$ .



# Projeções no plano da Imagem

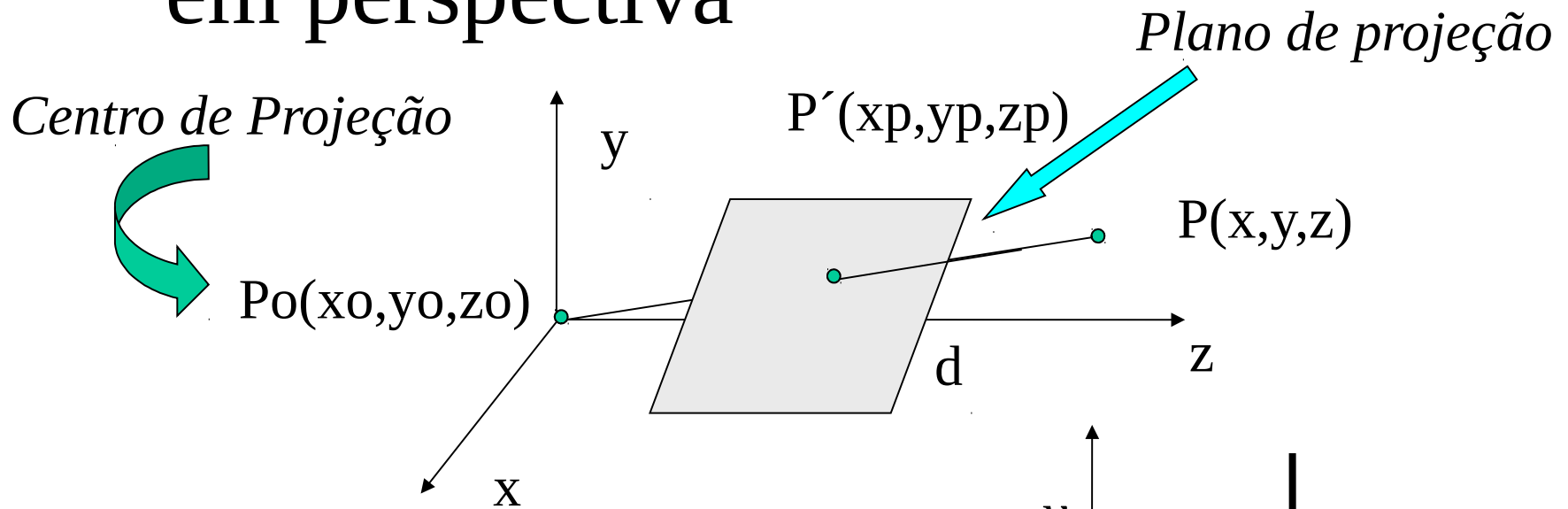
Projeções geométricas planares em perspectiva:

- Plano de projeção
- Centro de projeção (CP)

Obs: Se o centro de projeção estiver infinitamente afastado do plano de projeção então tem-se a projeção paralela, se o CP estiver a uma distância finita do plano de projeção então tem-se a projeção em perspectiva.



# Projeções geométricas planares em perspectiva



Por semelhança de triângulos temos:

$$\frac{x_p}{z_p} = \frac{x}{z}, \quad \frac{y_p}{z_p} = \frac{y}{z}$$

Como  $z_p = d$  tem-se:

$$x_p = \frac{d \cdot x}{z} = \frac{x}{z/d}, \quad y_p = \frac{d \cdot y}{z} = \frac{y}{z/d}$$



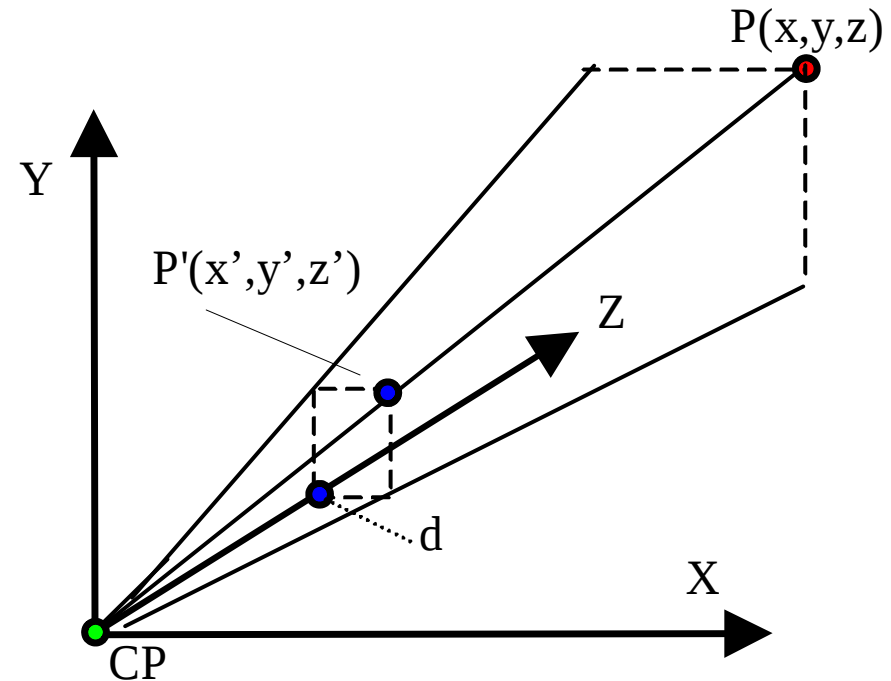
# Projeções geométricas planares em perspectiva

Transformando em coordenadas homogêneas:

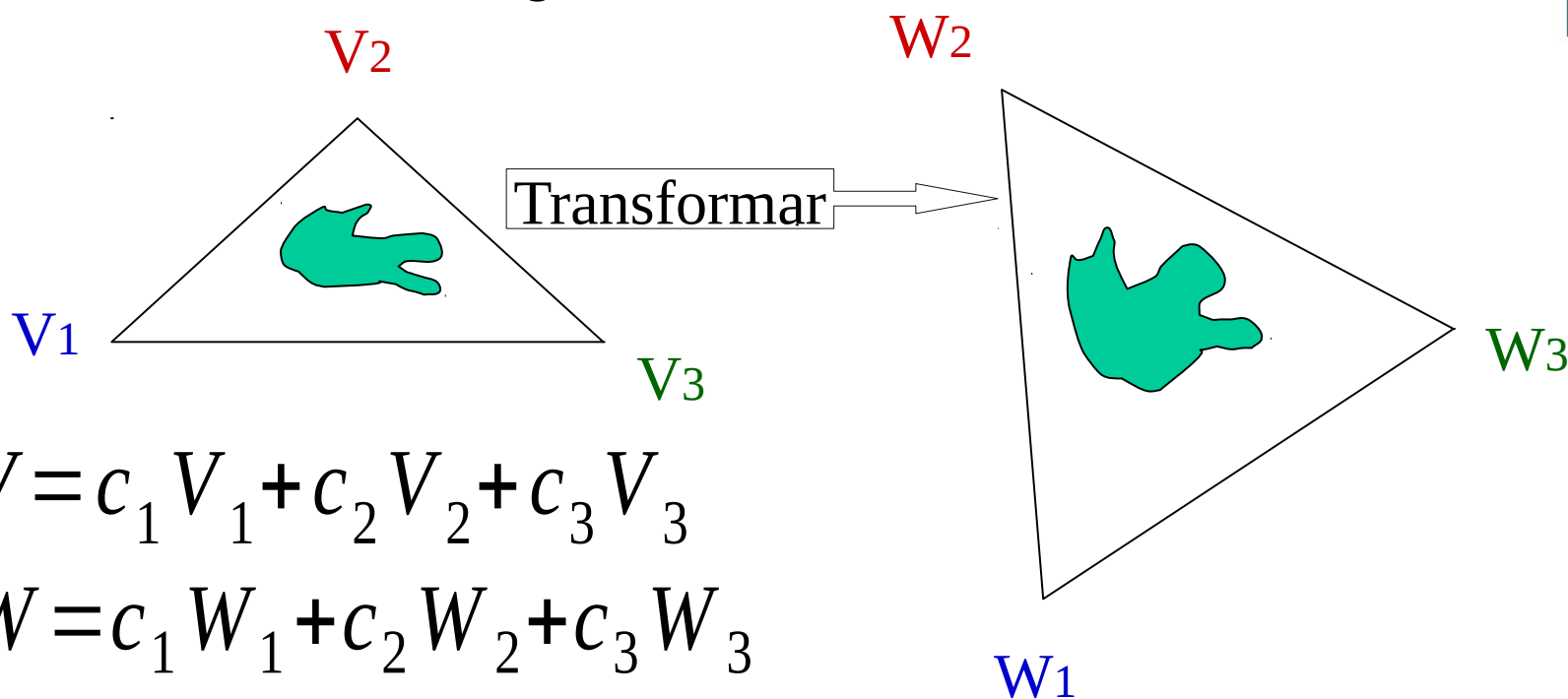
$$\begin{bmatrix} X \\ Y \\ Z \\ W \end{bmatrix} = \begin{bmatrix} 1 & 0 & 0 & 0 \\ 0 & 1 & 0 & 0 \\ 0 & 0 & 1 & 0 \\ 0 & 0 & 1/d & 0 \end{bmatrix} \begin{bmatrix} x \\ y \\ z \\ 1 \end{bmatrix}$$

$$\begin{bmatrix} X \\ Y \\ Z \\ W \end{bmatrix} = \begin{bmatrix} x \\ y \\ z \\ \frac{z}{d} \end{bmatrix} \Rightarrow \begin{bmatrix} \frac{X}{W} \\ \frac{Y}{W} \\ \frac{Z}{W} \\ 1 \end{bmatrix} = \begin{bmatrix} x_P \\ y_P \\ z_P \\ 1 \end{bmatrix} = \begin{bmatrix} \frac{x}{z/d} \\ \frac{y}{z/d} \\ d \\ 1 \end{bmatrix}$$

$$x_p = \frac{x}{z/d}, \quad y_p = \frac{y}{z/d}$$



# Deformação



$$V = c_1 V_1 + c_2 V_2 + c_3 V_3$$

$$W = c_1 W_1 + c_2 W_2 + c_3 W_3$$

$$\text{Onde: } c_1 + c_2 + c_3 = 1$$

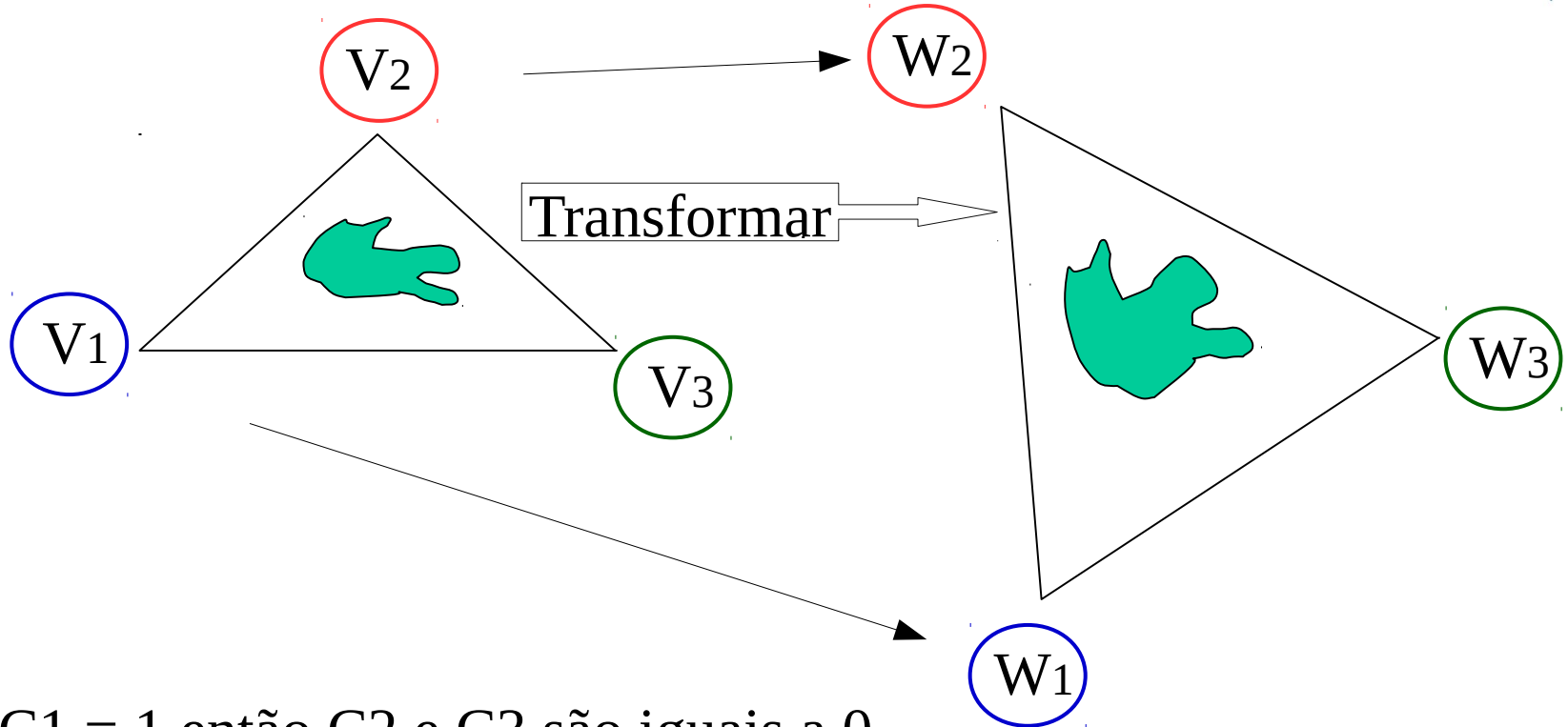
*e são valores não negativos.*

V e W são um pontos no espaço 2d (x,y).

Para cada ponto de  $V(x,y)$  existe associado uma cor

Obs: Para implementar o algoritmo escolha o passo de variação de  $C_1$ ,  $C_2$  e  $C_3$

# Deformação



Se  $C_1 = 1$  então  $C_2$  e  $C_3$  são iguais a 0

Neste caso  $V_1$  está associado a  $W_1$  e por tanto a cor do pixel em  $V_1$  será atribuída a posição  $W_1$ .

Se  $C_1 = \frac{1}{2}$  e  $C_2 = \frac{1}{2}$  então  $C_3 = 0$ . Então a cor que está na metade entre  $V_1$  e  $V_2$  será atribuída as coordenadas localizada na metade entre  $W_1$  e  $W_2$



# Imageamento Estéreo

## Projeção do Espaço 3D para o espaço 2D

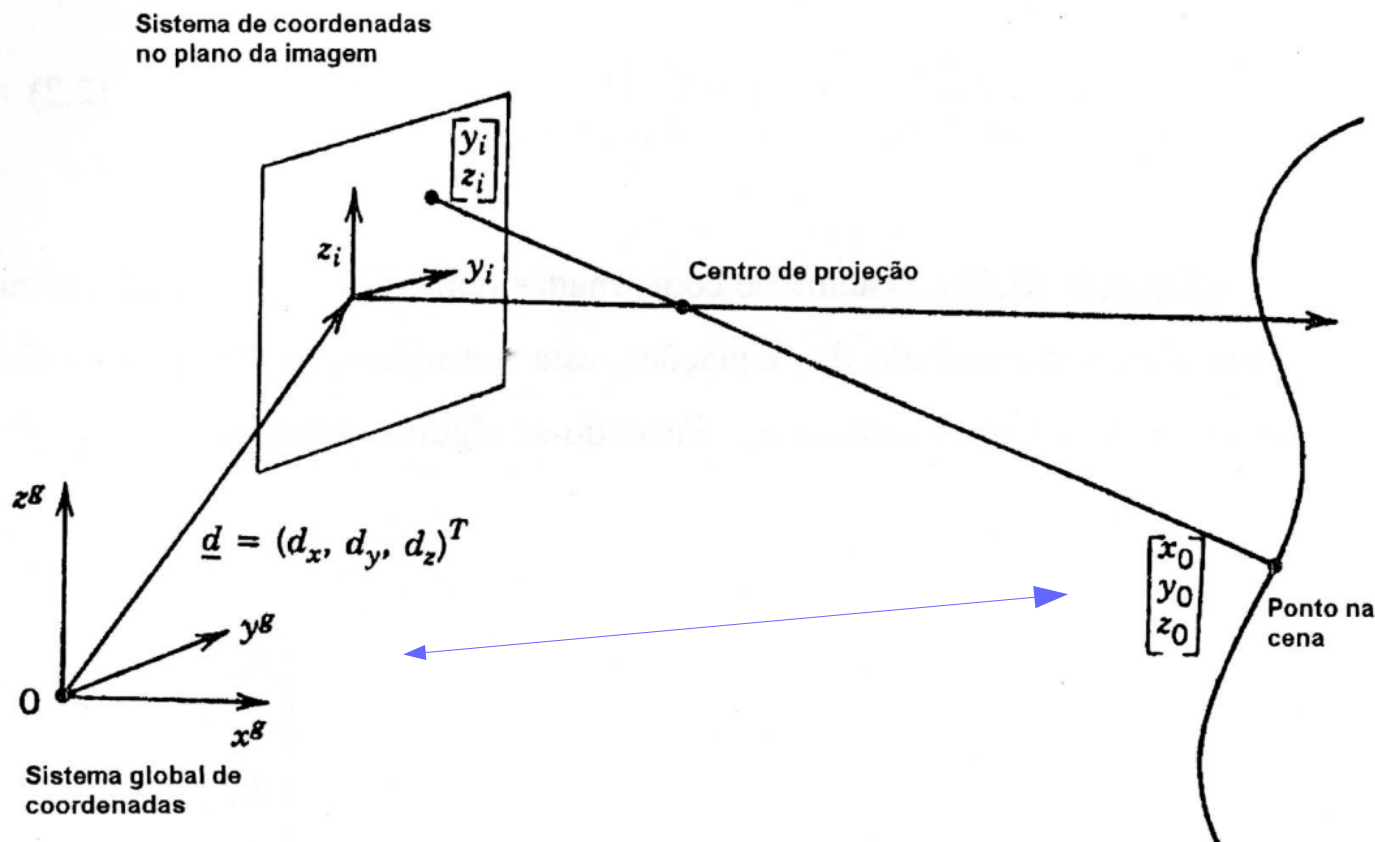


Figura - Sistema Global de Coordenadas (Schalkoff (1989))

# Projeção do Espaço 3D para o espaço 2D

$$\begin{bmatrix} w_i y_i \\ w_i z_i \\ w_i \end{bmatrix} = \begin{bmatrix} a_{11} & a_{12} & a_{13} & a_{14} \\ a_{21} & a_{22} & a_{23} & a_{24} \\ a_{31} & a_{32} & a_{33} & a_{34} \end{bmatrix} \begin{bmatrix} x_0 \\ y_0 \\ z_0 \\ 1 \end{bmatrix}$$

Note que  $x_i = 0$  que é o plano da imagem, portanto não há necessidade de ser calculado

Ao isolarmos  $y_i$ , e  $z_i$  no sistema de Equações, temos:

$$y_i = \frac{a_{11}x_0 + a_{12}y_0 + a_{13}z_0 + a_{14}}{a_{31}x_0 + a_{32}y_0 + a_{33}z_0 + a_{34}} \quad \text{e} \quad z_i = \frac{a_{21}x_0 + a_{22}y_0 + a_{23}z_0 + a_{24}}{a_{31}x_0 + a_{32}y_0 + a_{33}z_0 + a_{34}}$$

Na Equação anterior o sistema de coordenadas homogêneas permite a atribuição  $a_{34} = 1$  sem alterar o resultado das equações, esta normalização é imposta a fim de garantir uma **solução única para os  $a_{ij}$** .

# Projeção do Espaço 3D para o espaço 2D

Fazendo-se algumas manipulações algébricas tem-se:

$$\begin{bmatrix} x_0 & y_0 & z_0 & 1 & 0 & 0 & 0 & 0 & -(y_i x_0) & -(y_i y_0) & -(y_i z_0) \\ 0 & 0 & 0 & 0 & x_0 & y_0 & z_0 & 1 & -(z_i x_0) & -(z_i y_0) & -(z_i z_0) \end{bmatrix} \begin{bmatrix} a_{11} \\ a_{12} \\ a_{13} \\ a_{14} \\ a_{21} \\ a_{22} \\ a_{23} \\ a_{24} \\ a_{31} \\ a_{32} \\ a_{33} \end{bmatrix} = \begin{bmatrix} y_i \\ z_i \end{bmatrix}$$

- A cada ponto  $[y_i, z_i]^T$  na imagem, que corresponde a um ponto  $[k_o, y_o, z_o]^T$  da cena, forma-se um sistema de 2 equações e 11 incógnitas.
- Há a necessidade de no mínimo 6 pontos para solucionar esse sistema de equação linear.

# Utilizando Câmeras em Estéreo para Obter a Informação da Profundidade

No caso da utilização de duas câmeras em estéreo, tem-se dois sistemas usando o mesmo sistema global de coordenadas  $[x_o, y_o, z_o]^T$ .

Considere  $A_k = [a_{kij}]$ , onde  $k = 1, 2$ , e  $k$  representa as câmeras.

Manipulando-se as equações obtém-se:  $\underline{P} \underline{x}_0 = \underline{F}$  Onde:

$$P = \begin{bmatrix} a_{111} - a_{131}y_{i1} & a_{112} - a_{132}y_{i1} & a_{113} - a_{133}y_{i1} \\ a_{121} - a_{131}z_{i1} & a_{122} - a_{132}z_{i1} & a_{123} - a_{133}z_{i1} \\ a_{211} - a_{231}y_{i2} & a_{212} - a_{232}y_{i2} & a_{213} - a_{233}y_{i2} \\ a_{221} - a_{231}z_{i2} & a_{222} - a_{232}z_{i2} & a_{223} - a_{233}z_{i2} \end{bmatrix}, \quad \underline{x}_0 = \begin{bmatrix} x_0 \\ y_0 \\ z_0 \end{bmatrix}, \quad \underline{F} = \begin{bmatrix} a_{134}y_{i1} - a_{114} \\ a_{134}z_{i1} - a_{124} \\ a_{234}y_{i2} - a_{214} \\ a_{234}z_{i2} - a_{224} \end{bmatrix},$$

$[y_{i1}, z_{i1}]^T$  = coordenadas em pixels da imagem obtida a partir da câmera 1.

$[y_{i2}, z_{i2}]^T$  = coordenadas em pixels da imagem obtida a partir da câmera 2.

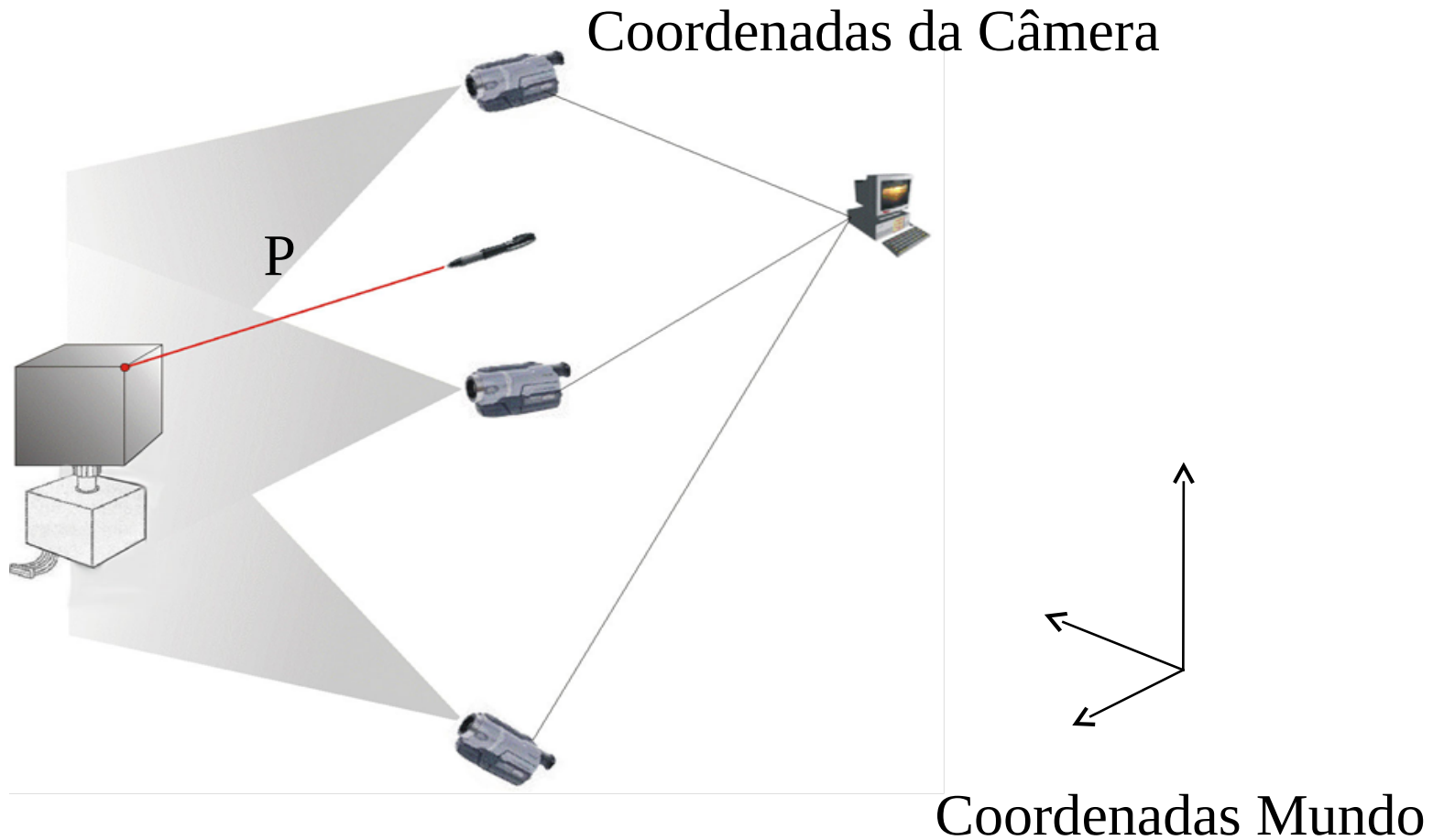
# Visão Estéreo

$$P = \begin{bmatrix} a_{111} - a_{131}y_{i1} & a_{112} - a_{132}y_{i1} & a_{113} - a_{133}y_{i1} \\ a_{121} - a_{131}z_{i1} & a_{122} - a_{132}z_{i1} & a_{123} - a_{133}z_{i1} \\ a_{211} - a_{231}y_{i2} & a_{212} - a_{232}y_{i2} & a_{213} - a_{233}y_{i2} \\ a_{221} - a_{231}z_{i2} & a_{222} - a_{232}z_{i2} & a_{223} - a_{233}z_{i2} \end{bmatrix}, \quad \underline{x_0} = \begin{bmatrix} x_0 \\ y_0 \\ z_0 \end{bmatrix}, \quad \underline{F} = \begin{bmatrix} a_{134}y_{i1} - a_{114} \\ a_{134}z_{i1} - a_{124} \\ a_{234}y_{i2} - a_{214} \\ a_{234}z_{i2} - a_{224} \end{bmatrix},$$

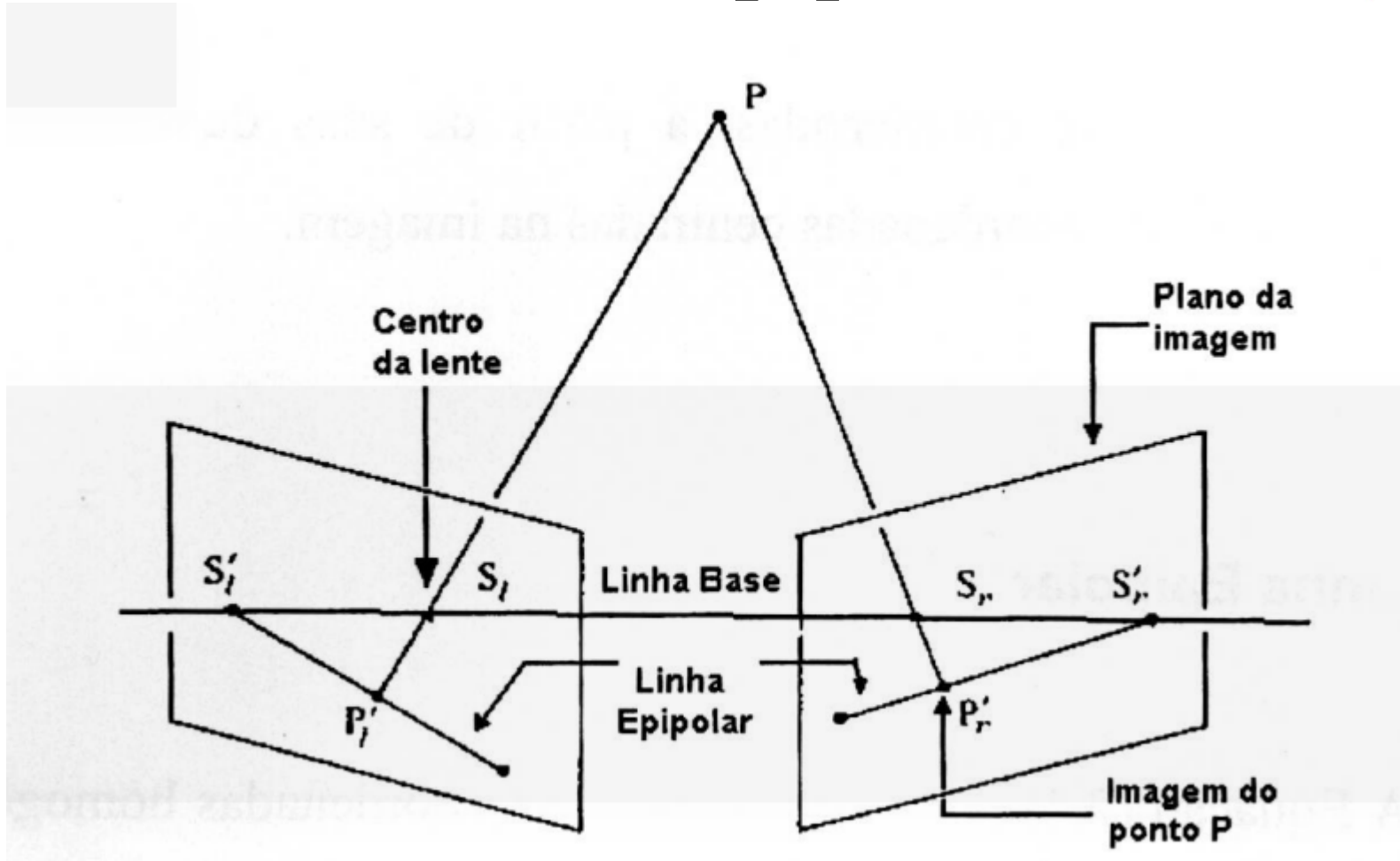
- 4 equações e 3 incógnitas ( $[k_o, y_o, z_o]^T$ ).
- Dados os pontos em estéreo ( $[y_{i1}, z_{i1}]^T$  e  $[y_{i2}, z_{i2}]^T$ ) calcula-se o ponto correspondente no espaço 3D.
- E como faríamos se usássemos mais de duas câmeras ?
- Qual é a vantagem de se utilizar mais de 2 câmeras ?



# Modelo Genérico de Visão Estéreo



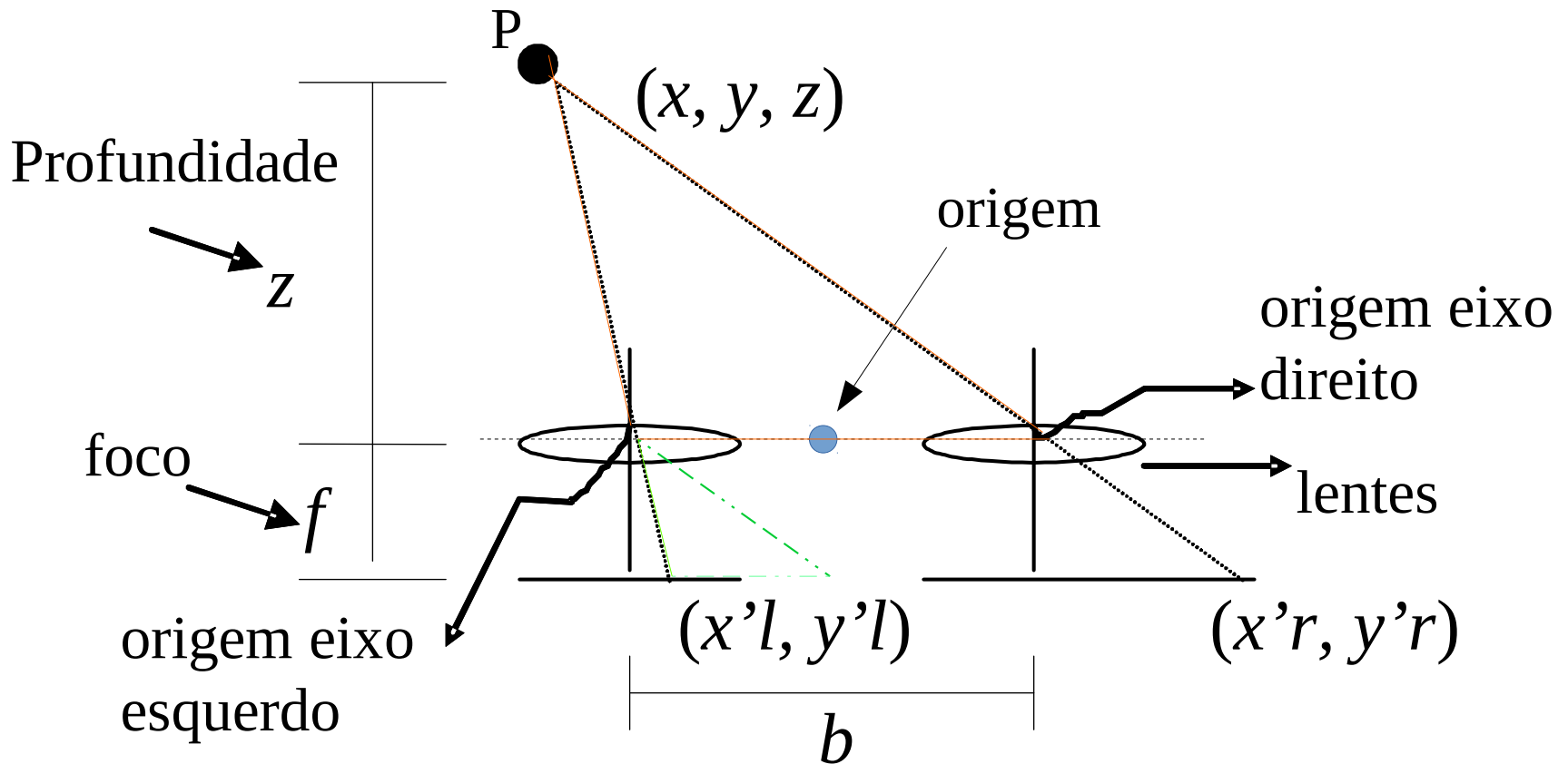
# Linha Epipolar



A linha epipolar é formada pela intersecção do plano da imagem com o plano formado pelos pontos  $S'_l$ ,  $S'_r$  (centro da lente esquerda e direita respectivamente) e  $P$  (ponto de interesse na cena).



# Visão Estéreo Simplificada



*Semelhança de triângulos:  $Z/b = f/(x'r - x'l)$*

*Portanto,  $Z = f b/(x'r - x'l)$*





# Processamento Digital de Imagens

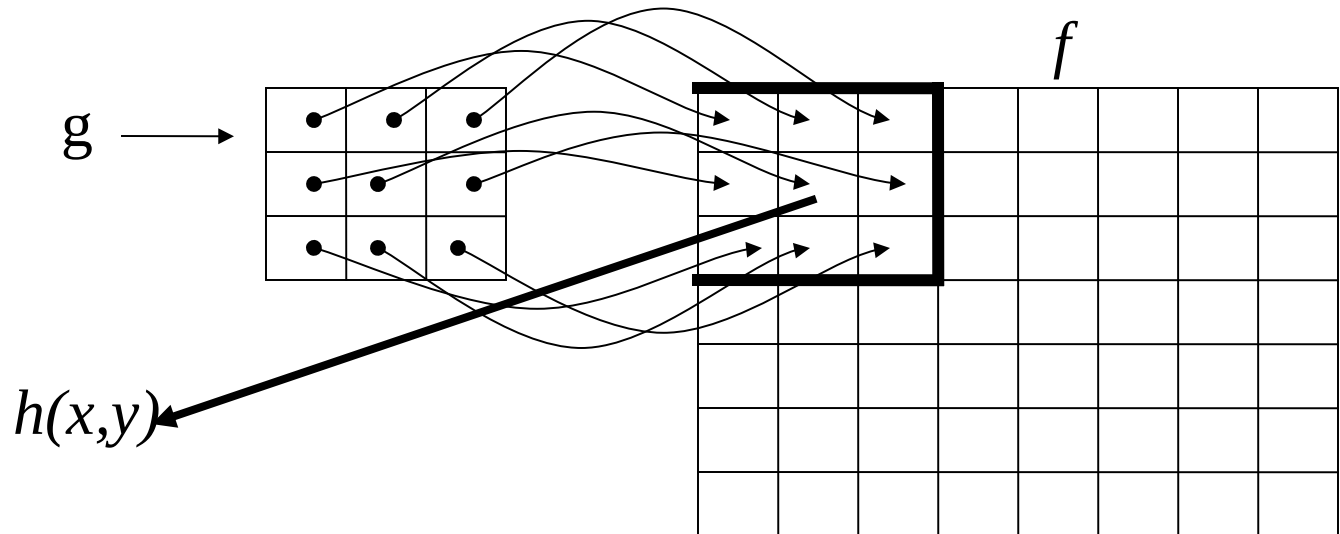
Filtragem espacial:

Convolução:

Núcleo de convolução

$$h(x,y) = f(x,y) * g(x,y) = \int_{-\infty}^{\infty} \int_{-\infty}^{\infty} f(\alpha, \beta) \cdot g(x-\alpha, y-\beta) d\alpha d\beta$$

Exemplo na forma discreta com um núcleo de convolução 3x3:





# Filtragem Espacial e o Filtro da Média

$(x-1, y-1)$	$(x, y-1)$	$(x+1, y-1)$
$(x-1, y)$	$(x, y)$	$(x+1, y)$
$(x-1, y+1)$	$(x, y+1)$	$(x+1, y+1)$

*for* (  $x = 1$ ;  $x < m - 2$ ;  $++x$  )

*for* (  $y = 1$ ;  $y < n - 2$ ;  $++y$  )

$$\begin{aligned} h[x][y] = & f[x-1][y-1]*g[0][0] + f[x][y-1]*g[0][1] + f[x+1][y-1]*g[0][2] \\ & + f[x-1][y]*g[1][0] + f[x][y]*g[1][1] + f[x+1][y]*g[1][2] \\ & + f[x-1][y+1]*g[2][0] + f[x][y+1]*g[2][1] + f[x+1][y+1]*g[2][2] \end{aligned}$$

## Filtro da média

$1/9$	$1/9$	$1/9$
$1/9$	$1/9$	$1/9$
$1/9$	$1/9$	$1/9$

- Média dos pixels vizinhos.
- Retira ruído porém borra a imagem.
- Quanto maior o tamanho da janela melhor é o filtro do ruído.



# Laplaciano

Extração de Bordas utilizando gradiente

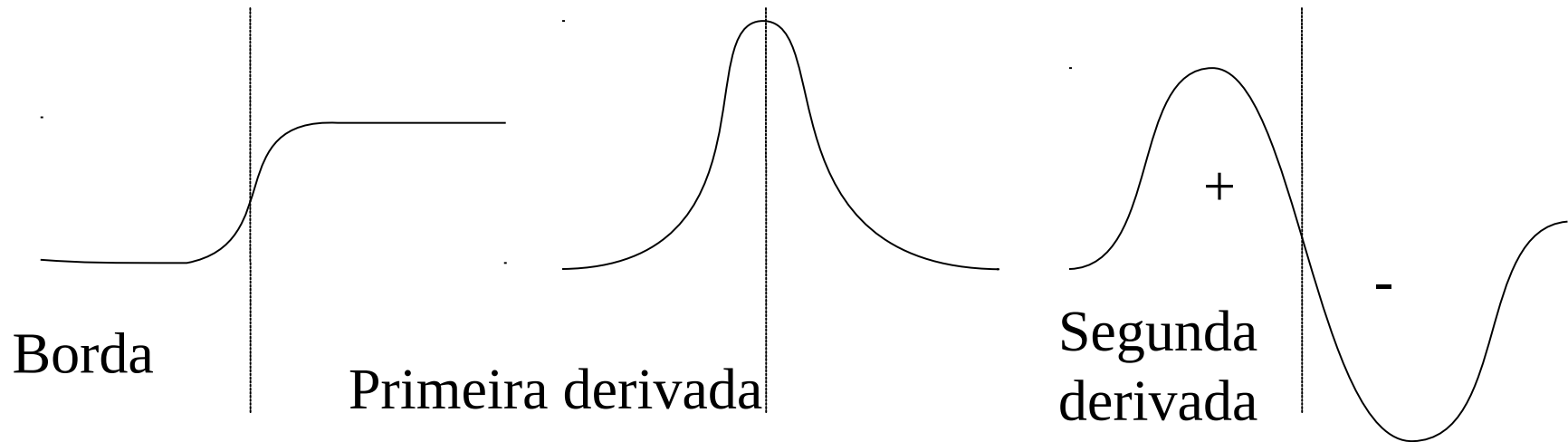
O operador laplaciano é uma derivada segunda de uma imagem

0	-1	0
-1	4	-1
0	-1	0

ou

-1	-1	-1
-1	8	-1
-1	-1	-1

Para detectar bordas procure os cruzamentos por zeros





# Roberts, Sobel, Prewitt

Roberts:

1	0
0	-1

$R_1$

0	1
-1	0

$R_2$

Utilize um limiar no *resultado*

$$\text{resultado} = \sqrt{R_1^2 + R_2^2}$$

Sobel

-1	-2	-1
0	0	0
1	2	1

$R_1$

-1	0	1
-2	0	2
-1	0	1

$R_2$

Prewitt

-1	-1	-1
0	0	0
1	1	1

$R_1$

-1	0	1
-1	0	1
-1	0	1

$R_2$

# Sobel

- Leitura de uma imagem
- Para os pixels da imagem faça:
  - Para cada pixel central calcula-se R1 e R2 utilizando as matrizes do Sobel.
  - $R = \text{raiz\_quadrada}(R_1^2 + R_2^2)$
  - Se  $(R > \text{limiar})$  então o pixel é pintado de preto
  - Senão o pixel é pintado de branco.
- Mostre a imagem



# Kirsch

## Kirsch

5	5	5
-3	0	-3
-3	-3	-3

$R_1$

-3	5	5
-3	0	5
-3	-3	-3

$R_2$

-3	-3	5
-3	0	5
-3	-3	5

$R_3$

-3	-3	-3
-3	0	5
-3	5	5

$R_4$

-3	-3	-3
-3	0	-3
5	5	5

$R_5$

-3	-3	-3
5	0	-3
5	5	-3

$R_6$

5	-3	-3
5	0	-3
5	-3	-3

$R_7$

5	5	-3
5	0	-3
-3	-3	-3

$R_8$

*Obs:*

*-Utilize um limiar no resultado.  
-A direção da borda é dada pela máscara de maior resultado*

$$resultado = \sqrt{R_1^2 + R_2^2 + R_3^2 + R_4^2 + R_5^2 + R_6^2 + R_7^2 + R_8^2}$$



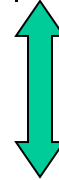
# Mediana

Filtro da Mediana: ordene uma região da imagem e utilize o pixel mediano como resultado do processamento.

Exemplo:

10	20	100
200	5	15
30	18	40

5 - 10 - 15 - 18 - 20 - 30 - 40 - 100 - 200



Resultado do processamento

O filtro da mediana retira ruído sem borrar a imagem, é um filtro não linear

# Exercícios

1) Implemente os filtros no domínio do espaço: Média, Sobel, Mediana,

2) Faça um programa que: Mostre a quantidade de manchas na imagem; pinte de azul as manchas sem buracos; e pinte de verde as manchas com buracos. Pinte de vermelho a maior mancha, Pinte de amarelo a menor mancha,

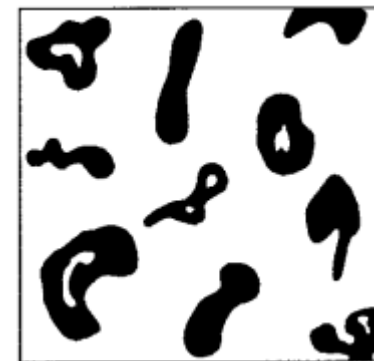
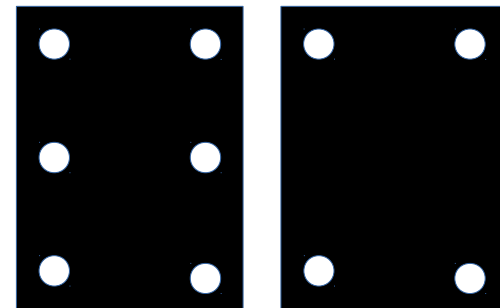


Imagem exemplo de entrada.

3) Determine se a peça possui 6 ou 4 buracos. Se a peça contiver 6 buracos classifique-a como tipo **A**, Se a peça contiver 4 buracos classifique-a como tipo **B**, caso contrário rejeite a peça classificando a como tipo **R**.



OBS:

- Pode utilizar qualquer rotina do OpenCv nos exercícios.
- Para preenchimento de regiões utilize o FloodFill do opencv.





# Bibliografias

- [Castleman (1996)] Castleman, K. R. Digital Image Processing. Prentice Hall pp-667. 1996.
- [Conci 2008] Conci, A; Azevedo, E; Leta, F. R. Computação Gráfica, volume2. Elsevier. p. 407. 2008.
- [Gonzalez (1993)] Gonzalez, R. F.; Woods, R. E. Digital Image Processing. Addison-Wesley, p 716. 1993.
- [Gonzalez (2009)] Rafael C. Gonzalez, Richard E. Woods. Digital Image Processing. PHI Learning Pvt. Ltd-new Delhi; 3ª edição (2009).
- [Hearn (1997)] Hearn, D; Baker, M. P. Computer Graphics, C Version. Prentice Hall, 2ª edição, p. 650. 1997.
- [FOLEY\_90] Foley, James D. et al : Computer Graphics - Principles and Practice, Addison-Wesley Publishing Company, 1990.
- [PERSIANO\_89] Persiano, R.C.M.; Oliveira, A.A.F. :Introdução à Computação Gráfica, Livros Técnicos e Científicos Editora Ltda., 1989.
- [Pratt (1991)] Pratt, Willian K. Digital Image Processing. A Wiley-Interscience Publication, 2ª edição. 698 p. 1991.